

Л. В. Ковтанюк<sup>1</sup>, Г. Л. Панченко<sup>1,2</sup>, Е. О. Попова<sup>1</sup>

## К МОДЕЛИРОВАНИЮ БОЛЬШИХ ДЕФОРМАЦИЙ РАЗНОМОДУЛЬНЫХ УПРУГИХ СРЕД

<sup>1</sup>Институт автоматизации и процессов управления Дальневосточного отделения РАН,  
г. Владивосток, Россия

<sup>2</sup>Владивостокский государственный университет, г. Владивосток, Россия

**Аннотация.** Для разномодульных нелинейных упругих изотропных сред рассмотрены деформации изменения формы. С использованием предложенных модельных соотношений получено решение краевой задачи о прямолинейном движении среды в круглой трубе под действием переменного перепада давления. Приводится сравнение полученных результатов с точным решением для нелинейной упругой изотропной среды.

**Ключевые слова:** упругость, разномодульные среды, большие деформации.

DOI: 10.37972/chgpu.2023.55.1.001

УДК: 539.371

Обычно в качестве разномодульных сред рассматривают материалы с различным сопротивлением растяжению и сжатию, к которому приводит наличие микродефектов в реальных материалах, например, в горных породах. В общем случае различие свойств материалов наблюдается и при деформациях изменения формы. Моделирование таких свойств материалов неоднократно рассматривалось в механике, как на стадии обратимого деформирования, так и необратимого. Соответствующие модели описаны давно и достаточно подробно [1–6]. Классическая теория идеально упругих

---

© Ковтанюк Л. В., Панченко Г. Л., Попова Е. О., 2023

*Ковтанюк Лариса Валентиновна*

**e-mail:** lk@iasp.dvo.ru, доктор физико-математических наук, член-корреспондент РАН, заведующий лабораторией, Институт автоматизации и процессов управления Дальневосточного отделения РАН, г. Владивосток, Россия.

*Панченко Галина Леонидовна*

**e-mail:** panchenko@iasp.dvo.ru, кандидат физико-математических наук, старший научный сотрудник, Институт автоматизации и процессов управления Дальневосточного отделения РАН, г. Владивосток, Россия, доцент Владивостокского государственного университета, г. Владивосток, Россия.

*Попова Елена Олеговна*

**e-mail:** polepao@bk.ru, аспирант, Институт автоматизации и процессов управления Дальневосточного отделения РАН, г. Владивосток, Россия.

Поступила 10.01.2023

тел может быть построена на основе потенциала напряжений, который в случае изотропной среды является функцией инвариантов напряжений. Выбрать такие инварианты можно по-разному. Предложение выбирать в качестве второго инварианта интенсивность напряжений содержится, например, в [7, 8]. Здесь рассмотрим деформации изменения формы в нелинейно упругих материалах, аналогично [7, 8] выбирая интенсивность деформаций вторым инвариантом.

1. Пусть деформированное состояние нелинейной упругой изотропной среды характеризует тензор деформаций Альманси  $d_{ij}$

$$d_{ij} = \frac{1}{2}(u_{i,j} + u_{j,i} - u_{k,i}u_{k,j}), \quad (1)$$

где  $u_i$  — компоненты вектора перемещений.

Для несжимаемой среды компоненты тензора напряжений Эйлера — Коши  $\sigma_{ij}$  связаны с деформациями  $d_{ij}$  формулой Мурнагана

$$\sigma_{ij} = -p\delta_{ij} + \frac{\partial W}{\partial d_{ik}}(\delta_{kj} - 2d_{kj}). \quad (2)$$

Здесь  $p$  — добавочное гидростатическое давление,  $W$  — упругий потенциал. Для изотропной несжимаемой среды  $W$  является функцией инвариантов тензора деформаций:  $W = W(I_1, I_2)$ . Выберем инварианты тензора Альманси  $I_1, I_2$  в виде

$$\begin{aligned} I_1 &= \frac{1}{3}(d_1 + d_2 + d_3) = \frac{1}{3}(d_{11} + d_{22} + d_{33}) = \frac{1}{3}d_{kk} = d, \\ I_2 &= \frac{3}{2}((d_1 - d)^2 + (d_2 - d)^2 + (d_3 - d)^2). \end{aligned} \quad (3)$$

Здесь  $d_1, d_2, d_3$  — главные значения тензора деформаций  $d_{ij}$ . Инвариант  $I_2$  в таком случае равен квадрату интенсивности деформаций. Исключая  $d_1, d_2, d_3$  из (3), запишем его в форме

$$I_2 = \frac{3}{2} \left( d_{ik}d_{ki} - \frac{1}{3}d_{kk}^2 \right). \quad (4)$$

Выберем функцию  $W = W(I_1, I_2)$  в виде ее разложения в ряд Тейлора относительно свободного состояния, ограничиваясь слагаемыми до третьего порядка по компонентам  $d_{ij}$

$$\begin{aligned} W &= -\gamma_1 I_1 + \gamma_2 \sqrt{I_2} + \gamma_3 I_1^2 + \gamma_4 I_2 - \gamma_5 I_1 \sqrt{I_2} - \gamma_6 I_1^3 + \\ &+ \gamma_7 I_1^2 \sqrt{I_2} - \gamma_8 I_1 I_2 + \gamma_9 I_2 \sqrt{I_2} \dots \end{aligned} \quad (5)$$

В (5)  $\gamma_k > 0$  — упругие модули. Подстановка производных инвариантов

$$\frac{\partial I_1}{\partial d_{ik}} = \frac{1}{3}\delta_{ik}, \quad \frac{\partial I_2}{\partial d_{ik}} = 3d_{ik} - d_{jj}\delta_{ki}$$

в формулу Мурнагана (2) позволяет получить зависимости для компонент тензора напряжений

$$\begin{aligned} \sigma_{ij} = & -P\delta_{ij} + \left[ 3L - \frac{2}{3} \left( -\gamma_1 + 2\gamma_3 I_1 - \gamma_5 \sqrt{I_2} - 3\gamma_6 I_1^2 + 2\gamma_7 I_1 \sqrt{I_2} - \gamma_8 I_2 \right) \right] d_{ij} + \\ & + 2L (d_{kk} d_{ij} - 3d_{ik} d_{kj}), \quad P = p - \frac{1}{3} \frac{\partial W}{\partial I_1} + \frac{\partial W}{\partial I_2} d_{kk}, \quad (6) \\ L = & \frac{\partial W}{\partial I_2} = \frac{\gamma_2}{2\sqrt{I_2}} + \gamma_4 - \gamma_5 \frac{I_1}{2\sqrt{I_2}} + \gamma_7 \frac{I_1^2}{2\sqrt{I_2}} - \gamma_8 I_1 + \frac{3}{2} \gamma_9 \sqrt{I_2}. \end{aligned}$$

В случае антиплоской деформации для компонент перемещений справедливы зависимости

$$u_1 = u_2 = 0, \quad u_3 = u_3(x_1, x_2). \quad (7)$$

Для компонент тензора Альманси в рассматриваемом случае получаем

$$\begin{aligned} d_{11} = & -\frac{1}{2} u_{3,1}^2, \quad d_{12} = -\frac{1}{2} u_{3,1} u_{3,2}, \quad d_{13} = \frac{1}{2} u_{3,1}, \\ d_{22} = & -\frac{1}{2} u_{3,2}^2, \quad d_{23} = \frac{1}{2} u_{3,2}, \quad d_{33} = 0. \quad (8) \end{aligned}$$

Инварианты деформаций для компонент (8) принимают форму

$$I_1 = -\frac{1}{6} b^2, \quad I_2 = \frac{1}{4} b^2 (b^2 + 3), \quad b^2 = u_{3,1}^2 + u_{3,2}^2. \quad (9)$$

В случае чистого сдвига, когда  $u_2 = u_2(x_1)$ ,  $b = u_{2,1}$ . Для напряжений в таком случае получаем зависимости

$$\begin{aligned} \sigma_{11} = & -P - \left( \frac{1}{3} \gamma_1 + 3\gamma_4 \right) b^2 \pm \frac{1}{2} \gamma_5 \frac{b^3}{a} - \left( \frac{1}{2} \gamma_8 + \frac{1}{9} \gamma_3 + \gamma_4 \right) b^4 \pm \left( \gamma_5 + \frac{1}{2} \gamma_7 \right) \frac{b^5}{6a} \pm \\ & \pm \left( \frac{1}{6} \gamma_5 + \frac{9}{4} \gamma_9 \right) ab^3 - \left( \gamma_8 + \frac{1}{6} \gamma_6 \right) \frac{b^6}{6} - \frac{\gamma_8}{12} a^2 b^4 \pm \left( \frac{\gamma_7}{18} + \frac{3}{4} \gamma_9 \right) ab^5 \pm \frac{\gamma_7}{36} \frac{b^7}{a}, \\ \sigma_{12} = & \left( \frac{1}{3} \gamma_1 + \frac{3}{2} \gamma_4 \right) b \mp \frac{1}{4} \gamma_5 \frac{b^2}{a} + \left( \frac{1}{4} \gamma_8 + \frac{1}{9} \gamma_3 + \gamma_4 \right) b^3 \mp \left( \gamma_5 + \frac{1}{4} \gamma_4 \right) \frac{b^4}{6a} \mp \\ & \mp \left( \frac{1}{6} \gamma_5 + \frac{9}{8} \gamma_9 \right) ab^2 + \left( \gamma_8 + \frac{1}{6} \gamma_6 \right) \frac{b^5}{6} + \frac{\gamma_8}{12} a^2 b^3 \mp \left( \frac{\gamma_7}{18} + \frac{3}{4} \gamma_9 \right) ab^4 \mp \frac{\gamma_7}{36} \frac{b^6}{a}, \\ \sigma_{22} = & -P - \frac{3}{2} \gamma_4 b^2 \pm \frac{1}{4} \gamma_5 \frac{b^3}{a} \pm \frac{9}{8} \gamma_9 ab^3 \pm \frac{1}{24} \gamma_7 \frac{b^5}{a} - \frac{1}{4} \gamma_8 b^4, \quad \sigma_{33} = -P. \quad (10) \end{aligned}$$

В (10)  $a = \sqrt{b^2 + 3}$ . Здесь и далее верхний знак соответствует  $u_{2,1} < 0$ , нижний  $u_{2,1} > 0$ .

Как известно [9], в случае антиплоского движения среды коэффициенты в упругом потенциале являются зависимыми. Такое движение осуществимо, если

$$\begin{aligned} W = & -2\mu J_1 - \mu J_2 + h J_1^2 + (h - \mu) J_1 J_2 - \zeta J_1^3 + \dots, \\ J_1 = & d_{kk}, \quad J_2 = d_{ik} d_{ki}. \quad (11) \end{aligned}$$

Сравнивая (5) и (11), для коэффициентов потенциала (5) получим

$$\gamma_1 = 6\mu, \quad \gamma_3 = 3(3h - \mu), \quad \gamma_4 = -\frac{2}{3}\mu, \quad \gamma_6 = 9(\mu - h) + 27\zeta, \quad \gamma_8 = 2(\mu - h). \quad (12)$$

Отметим, что равенство нулю коэффициента  $\gamma_2$  следует из условия отсутствия касательного напряжения в недеформированном материале.

**2. Прямолинейное движение среды в круглой трубе.** Пусть несжимаемый упруговязкопластический материал, деформационные свойства которого приведены выше, заполняет круглую трубу радиуса  $R$  с недеформируемыми стенками. Рассмотрим обратимое деформирование материала и его продвижение по трубе в условиях растущего со временем перепада давления. Решение этой краевой задачи теории больших деформаций в цилиндрической системе координат  $r, \varphi, z$  будем искать в классе функций

$$u = u_z(r, t), \quad v = v_z(r, t), \quad P = P(r, z, t).$$

Для отличных от нуля компонент тензора деформаций в рассматриваемом случае имеем

$$d_{rr} = -\frac{1}{2}(u')^2, \quad d_{rz} = \frac{1}{2}u'. \quad (13)$$

Полагаем, что деформирование начинается из свободного состояния материала. Далее ограничимся слагаемыми до третьей степени  $u' = u_{z,r}$ . Таким образом, учитываются только старшие нелинейные слагаемые в зависимостях напряжений от обратимых деформаций. Согласно соотношениям (10) и (12) получим

$$\begin{aligned} \sigma_{rr} &= -P \pm \frac{1}{2}\gamma_5 \frac{b^3}{a}, \quad \sigma_{\varphi\varphi} = -P, \\ \sigma_{rz} &= \mu b \mp \frac{1}{4}\gamma_5 \frac{b^2}{a}, \quad \sigma_{zz} = -P + \mu b^2 \pm \frac{1}{4}\gamma_5 \frac{b^3}{a}. \end{aligned} \quad (14)$$

Деформирование и движение материала по трубе свяжем с воздействием градиента давления

$$\partial P / \partial z = \mp \psi(t), \quad \psi(0) = 0. \quad (15)$$

Считаем, что во всем процессе деформирования на стенках трубы выполнено условие жесткого сцепления

$$u(R, t) = 0. \quad (16)$$

Далее силами инерции будем пренебрегать, считая процесс деформирования достаточно медленным. Тогда интегрирование уравнений равновесия

$$\sigma_{rz,r} + \sigma_{zz,z} + \frac{\sigma_{rz}}{r} = 0, \quad \sigma_{rr,r} + \sigma_{rz,z} + \frac{\sigma_{rr} - \sigma_{\varphi\varphi}}{r} = 0 \quad (17)$$

приводит к зависимостям

$$\sigma_{rz} = \frac{c(t)}{2}r + \frac{c_1(t)}{r}, \quad P = c(t)z + g(r, t). \quad (18)$$

Неизвестные функции интегрирования  $c(t)$ ,  $c_1(t)$  необходимо определить из краевых условий. Заметим, что  $c_1(t) = 0$ , так как напряжение  $\sigma_{rz}$  обязано быть конечным при  $r = 0$ .

Для краевых условий (15), (16) решение получаем в виде

$$\sigma_{rz} = \mp \psi(t)r/2, \quad P = \mp \psi(t)z + g(r, t). \quad (19)$$

Для определения перемещений согласно (14) и (19) получаем уравнение

$$\mu b \mp \frac{1}{4}\gamma_5 \frac{b^2}{a} = \mp \frac{\psi(t)r}{2}. \quad (20)$$

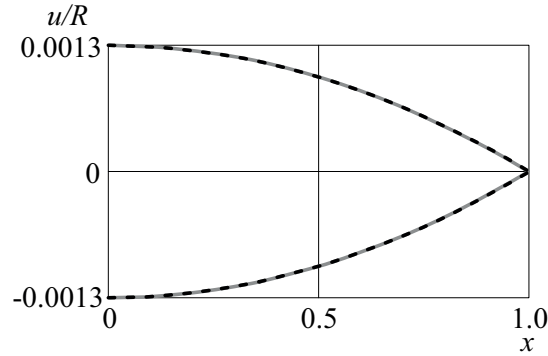


Рис. 1. Распределение перемещений  $u/R$  в зависимости от радиуса  $x$  в момент начала пластического течения  $\tau_0$

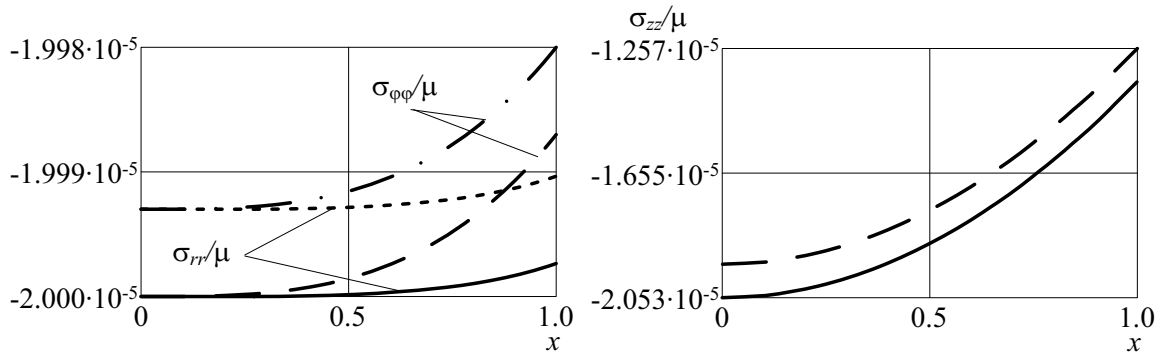


Рис. 2. Компоненты напряжений  $\sigma_{rr}/\mu$ ,  $\sigma_{\varphi\varphi}/\mu$  и  $\sigma_{zz}/\mu$  в момент времени  $\tau_0$

Для определенности полагаем далее  $\psi(t)$  линейной функцией времени  $\psi(t) = \alpha t$  ( $\alpha = \text{const}$ ).

По известным перемещениям компонента напряжений  $\sigma_{rr}$  находится интегрированием второго уравнения равновесия (17) с учетом (14) и с использованием граничного условия

$$\sigma_{rr}|_{r=R, z=0} = \sigma_0, \quad (21)$$

которое задает напряженное состояние, вызванное начальным поджатием в сечении трубы  $z = 0$ . Таким образом, получаем

$$\sigma_{rr} = \mp \frac{1}{2} \gamma_5 \int_R^r \frac{b^3}{a} dr \pm \psi(t)z + \sigma_0. \quad (22)$$

Гидростатическое давление находится из (14) по известному напряжению  $\sigma_{rr}$ . Компонента напряжений  $\sigma_{zz}$  определится также из (14).

Расчеты проводились в безразмерных переменных  $\tau = \alpha t R / \mu$  и  $x = r / R$  при значениях постоянных  $\gamma_5 / \mu = 3$ ,  $k / \mu = 2.629 \cdot 10^{-3}$ ,  $\sigma_0 / \mu = -2 \cdot 10^{-5}$ . Численные решения уравнения (20) иллюстрирует рис. 1 (верхняя пунктирная линия для  $u' < 0$  и нижняя

пунктирная линия для  $u' > 0$ ); сплошными серыми линиями показано точное решение соответствующей задачи, полученное для случая обратимого деформирования без учета разномодульности среды [10–12]. Перемещения точек разномодульной среды отличаются от перемещений точек среды без учета разномодульности в шестом знаке после запятой, поэтому на графике соответствующие линии перемещений совпадают.

Полученное решение при возрастающей функции  $\psi(t)$  справедливо в промежутке времени от 0 до последующего момента времени  $t = t_0$ , начиная с которого от стенки  $r = R$  развивается область пластического течения. Выбирая, например, условие Треска

$$\max |\sigma_i - \sigma_j| = 2k$$

для рассмотренного случая, записанного в форме

$$\left( (\sigma_{rr} - \sigma_{zz})^2 + 4\sigma_{rz}^2 \right) \Big|_{r=R} = 4k^2,$$

в принятом приближении получим

$$\sigma_{rz}(R, t_0) = \mp k, \quad t_0 = \frac{2k}{\alpha R}.$$

На рис. 2 показаны распределения компонент напряжений  $\sigma_{rr}/\mu$  и  $\sigma_{\varphi\varphi}/\mu$  в зависимости от радиуса  $x$  при  $z/R = 0.000001$  сплошной и штриховой линиями соответственно для  $u' > 0$  и пунктирной и штрих-пунктирной линиями соответственно для  $u' < 0$ . Распределения компоненты напряжений  $\sigma_{zz}/\mu$  при  $z/R = 0.0001$  приведены на рис. 2 сплошной и штриховой линиями для  $u' > 0$  и  $u' < 0$  соответственно.

## ЛИТЕРАТУРА

- [1] Амбарцумян С. А. Разномодульные теории упругости. М.: Наука. 1982. 320 с.
- [2] Мясников В. П., Олейников А. И. Основные общие соотношения изотропно-упругой разнородной среды // ДАН СССР. 1992. Т. 322. № 1. С. 57–60.
- [3] Быковцев Г. И., Лаврова Т. Б. Модель анизотропно упрочняющейся среды, имеющей различные законы упрочнения для растяжения и сжатия // Изв. АН СССР. МТТ. 1998. № 2. С. 146–151.
- [4] Ломакин Е. В., Работнов Ю. Н. Соотношения теории упругости для изотропного разномодульного тела // Изв. АН СССР. МТТ. 1978. № 6. С. 29–34.
- [5] Шапиро Г. С. О деформациях тел, обладающих различным сопротивлением растяжению и сжатию // Инж. журн. МТТ. 1966. № 2. С. 123–125.
- [6] Саркисян М. С. К теории упругости изотропных тел, материал которых по-разному сопротивляется растяжению и сжатию // Изв. АН СССР. МТТ. 1971. № 5. С. 99–108.
- [7] Буренин А. А., Ярушина В. М. К моделированию деформирования материалов, по-разному сопротивляющихся растяжению и сжатию // Проблемы механики деформируемых твердых тел и горных пород: к 75-летию со дня рождения академика Е.И. Шемякина: сб. науч. тр. М.: Изд-во Физ.-мат. лит., 2006. С. 100–106.
- [8] Цвелодуб И. Ю. К разномодульной теории упругости изотропных материалов // В сб. Динамические задачи механики сплошных сред. СО АН СССР. Институт гидродинамики им. М.А. Лаврентьева. Вып. 32. 1977. С. 123–131.
- [9] Лурье А. И. Нелинейная теория упругости. М.: Наука, 1980. 512 с.
- [10] Ковтанюк Л. В. О продавливании упруговязкопластического материала через жесткую круговую цилиндрическую матрицу // ДАН. 2005. Т. 400, № 6. С. 764–767.
- [11] Буренин А. А., Ковтанюк Л. В. Большие необратимые деформации и упругое последствие // Монография. Владивосток: Дальнаука. 2013. 312 с.
- [12] Ковтанюк Л. В., Матвеев В. П., Буренин А. А. Течение упруговязкопластической среды по трубе в условиях изменяющегося перепада давления // Вестник ЧГПУ им. И.Я. Яковлева. Серия: Механика предельного состояния. 2013. № 1(15). С. 69–80.

L. V. Kovtanyuk<sup>1</sup>, G. L. Panchenko<sup>1,2</sup>, E. O. Popova<sup>1</sup>

## ON MODELING OF LARGE STRAINS OF MULTIMODULUS ELASTIC MEDIA

<sup>1</sup>*Institute of Automation and Control Processes of FEB RAS, Vladivostok, Russia*

<sup>2</sup>*Vladivostok State University, Vladivostok, Russia*

**Abstract.** For nonlinear elastic isotropic media with different moduli, deformations of shape change are considered. Using the proposed model relations, a solution of a boundary value problem of the rectilinear motion of a medium in a round pipe under the action of a variable pressure drop is obtained. The obtained results are compared with the exact solution for a nonlinear elastic isotropic medium.

**Keywords:** elasticity, multimodulus media, large strains.

### REFERENCES

- [1] Ambartsumyan S. A. Multimodulus theories of elasticity. M.: Science. 1982. 320 p. (in Russian).
- [2] Myasnikov V. P., Oleinikov A. I. Basic General Relationships of an Isotropically Elastic Differently Resisting Medium // DAN SSSR. 1992. V. 322, No. 1. P. 57–60. (in Russian).
- [3] Bykovtsev G. I., Lavrova T. B. Model of an anisotropically hardening medium with different laws of hardening for tension and compression // Izv. Academy of Sciences of the USSR. MTT. 1998. No. 2. P. 146–151. (in Russian).
- [4] Lomakin E. V., Rabotnov Yu. N. Relationships of the theory of elasticity for an isotropic multimodular body // Izv. Academy of Sciences of the USSR. MTT. 1978. No. 6. P. 29–34. (in Russian).
- [5] Shapiro G. S. On the deformations of bodies with different resistance to tension and compression // Inzh. journal. MTT. 1966. No. 2. P. 123–125. (in Russian).
- [6] Sargsyan M. S. On the theory of elasticity of isotropic bodies, the material of which resists tension and compression in different ways // Izv. Academy of Sciences of the USSR. MTT. 1971. No. 5. P. 99–108. (in Russian).
- [7] Burenin A. A., Yarushina V. M. On modeling the deformation of materials that resist tension and compression in different ways // Problems of Mechanics of Deformable Solids and Rocks: On the 75th Anniversary of Academician E.I. Shemyakin: collection of scientific papers. M.: Publishing house Fiz.-mat. lit., 2006. P. 100–106. (in Russian).
- [8] Tselodub I. Yu. On the multi-modulus theory of elasticity of isotropic materials // In the collection of articles. Dynamic problems of continuum mechanics. SO AN USSR. Institute of Hydrodynamics. M.A. Lavrentiev. Issue. 32. 1977. P. 123–131. (in Russian).
- [9] Lurie A. I. Nonlinear theory of elasticity. M.: Nauka, 1980. 512 p. (in Russian).

---

*Kovtanyuk Larisa Valentinovna*

e-mail: lk@iacp.dvo.ru, Dr. Sci. Phys. & Math., corresponding member of the Russian Academy of Sciences, Head of the Laboratory of Irreversible Deformation Mechanics, Institute of Automation and Control Processes of FEB RAS, Vladivostok, Russia.

*Panchenko Galina Leonidovna*

e-mail: panchenko@iacp.dvo.ru, Candidate of Phys. & Math., Senior Researcher, Institute of Automation and Control Processes of FEB RAS, Vladivostok, Russia, Associate Professor, Vladivostok State University, Vladivostok, Russia.

*Popova Elena Olegovna*

e-mail: polenao@bk.ru, Postgraduate Student, Institute of Automation and Control Processes of FEB RAS, Vladivostok, Russia.

- [10] Kovtanyuk L. V. On the forcing of an elastoviscoplastic material through an inflexible circular cylindrical die // *Doklady Physics*. 2005. T. 50. No. 2. P. 112–114.
- [11] Burenin A. A., Kovtanyuk L. V. Large irreversible strains and elastic aftereffect // *Monograph*. Vladivostok: Dalnauka. 2013. 312 p. (in Russian).
- [12] Kovtanyuk L. V., Matveenko V. P., Burenin A. A. The flow of elasto-viscous-plastic medium through a tube in the conditions of changing differential pressure // *Bulletin of the Chuvash State Pedagogical University. I. Ya. Yakovleva. Series: Mechanics of the limit state*. 2013. No. 1(15). P. 69–80. (in Russian).